

Prezentace ke státní doktorské zkoušce

# Optimalizace parametrů sekundárního chlazení plynulého odlévání oceli

**Ing. Lubomír Klimeš**

**Školitel: doc. Ing. Josef Štětina, Ph.D.**

Energetický ústav, Odbor termomechaniky a techniky prostředí, FSI VUT v Brně

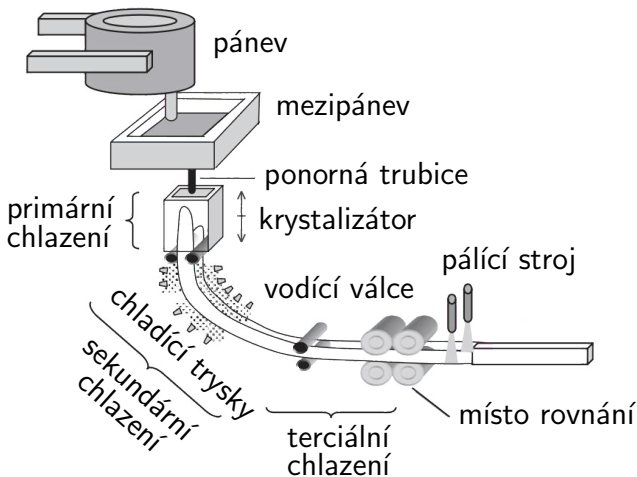
# Obsah prezentace

- 1 **plynulé odlévání oceli**
- 2 **motivace** řešení dizertační práce
- 3 **matematický model** teplotního pole
- 4 **optimalizace** provozu ZPO
- 5 **současný stav řešení** dizertační práce
- 6 **cíle** dizertační práce

# Plynulé odlévání oceli: přehled

- 1 dříve ocel odlévána do **kokil**: **neproduktivní, neefektivní**
- 2 **v současné době** více než **95 %** oceli odlito **metodou plynulého odlévání**
- 3 **počátky** metody plynulého odlévání: polovina 19. století
- 4 využití při výrobě hliníku, mědi
- 5 **formáty** předlitků: **sochor**, brama, blok
- 6 **typy** ZPO: **radiální**, vertikální, horizontální

# Plynulé odlévání oceli: radiální ZPO



# Plynulé odlévání oceli: radiální víceproudé ZPO

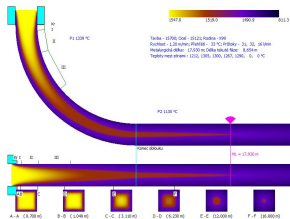
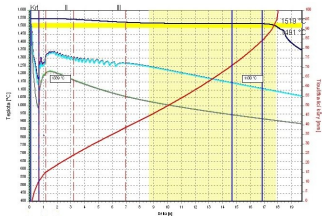


# Plynulé odlévání oceli: požadavky

- **snižování výrobních nákladů**
- **zvyšování produktivity a hospodárnosti**
- **zvyšování kvality** finálních výrobků
- **snižování výskytu vad** předlitků
- **posílení konkurenceschopnosti**
- **optimální řízení provozu** ZPO
  - běžný výrobní provoz
  - havarijní a jiné nestandardní situace

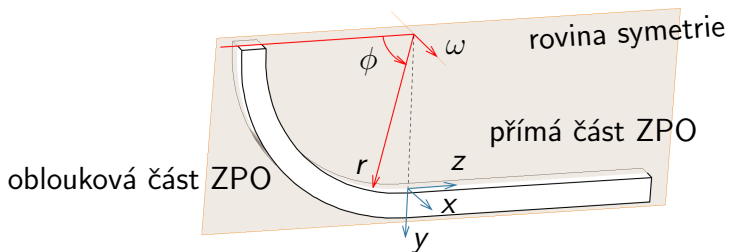
# Plynulé odlévání oceli: současný stav

- nutnost **využití numerických modelů** teplotních polí
  - **monitoring** výroby
  - **řízení** výroby
  - **optimalizace** provozu ZPO (on-line vs off-line modely)
- **?**: **licí rychlost, intenzita chlazení** v sekundární zóně ZPO



## Matematický model teplotního pole

- **nestacionární úloha přenosu tepla a látky:**  
kondukcce, konvekce, radiace
- **fázová přeměna:**  
metoda entalpie a metoda efektivní tepelné kapacity
- volba souřadného systému: kartézský a cylindrický





# Matematický model teplotního pole

## Metoda entalpie

$$H(T) = \rho L_f(1 - f_s) + \int_{T_{\text{ref}}}^T \rho c \, d\theta$$

## Fourierova-Kirchhoffova rovnice

$$\frac{\partial H}{\partial t} = \frac{\partial}{\partial x} \left( k \frac{\partial T}{\partial x} \right) + \frac{\partial}{\partial y} \left( k \frac{\partial T}{\partial y} \right) + \frac{\partial}{\partial z} \left( k \frac{\partial T}{\partial z} \right) + v_z \frac{\partial H}{\partial z}$$

$$\frac{\partial H}{\partial t} = \frac{1}{r} \frac{\partial}{\partial r} \left( kr \frac{\partial T}{\partial r} \right) + \frac{1}{r^2} \frac{\partial}{\partial \phi} \left( k \frac{\partial T}{\partial \phi} \right) + \frac{\partial}{\partial \omega} \left( k \frac{\partial T}{\partial \omega} \right) + v_\phi \frac{1}{r} \frac{\partial H}{\partial \phi}$$

# Matematický model teplotního pole

## Metoda efektivní tepelné kapacity

$$c_{\text{eff}}(T) = \frac{\partial H}{\partial T} = -\rho L_f \frac{\partial f_s}{\partial T} + \rho c$$

### Fourierova-Kirchhoffova rovnice

$$c_{\text{eff}} \frac{\partial T}{\partial t} = \frac{\partial}{\partial x} \left( k \frac{\partial T}{\partial x} \right) + \frac{\partial}{\partial y} \left( k \frac{\partial T}{\partial y} \right) + \frac{\partial}{\partial z} \left( k \frac{\partial T}{\partial z} \right) + v_z c_{\text{eff}} \frac{\partial T}{\partial z}$$

$$c_{\text{eff}} \frac{\partial T}{\partial t} = \frac{1}{r} \frac{\partial}{\partial r} \left( k r \frac{\partial T}{\partial r} \right) + \frac{1}{r^2} \frac{\partial}{\partial \phi} \left( k \frac{\partial T}{\partial \phi} \right) + \frac{\partial}{\partial \omega} \left( k \frac{\partial T}{\partial \omega} \right) + v_\phi c_{\text{eff}} \frac{1}{r} \frac{\partial T}{\partial \phi}$$

## Matematický model teplotního pole

- **počáteční** podmínka:  $T(\mathbf{x}, t = 0) = T_0(\mathbf{x})$
- **okrajové** podmínky

$$T(\mathbf{x}, t)|_{\text{meniskus}} = T_\ell, \quad -k \frac{\partial T}{\partial \mathbf{n}} = \dot{q}(\mathbf{x}, t), \quad -k \frac{\partial T}{\partial \mathbf{n}} = 0$$

$$-k \frac{\partial T}{\partial \mathbf{n}} = h(T - T_\infty) + \sigma \varepsilon (T^4 - T_\infty^4)$$

- **součinitel přestupu tepla**  $h$ : experimentální měření
- **diskretizace NM**: **metoda kontrolních objemů**
- **paralelizace NM**: grafické jednotky GPU a CUDA

## Optimalizace a optimalizační algoritmy

- extremalizace účelové funkce vzhledem k omezením
- **deterministická** optimalizace

$$? \in \underset{\mathbf{x}}{\operatorname{argmin}} \{ f(\mathbf{x}, \mathbf{p}) \mid \mathbf{x} \in X \cap \{ \mathbf{x} \mid \mathbf{g}(\mathbf{x}, \mathbf{p}) \leq \mathbf{0}, \mathbf{h}(\mathbf{x}, \mathbf{p}) = \mathbf{0} \} \}$$

- **stochastická** optimalizace

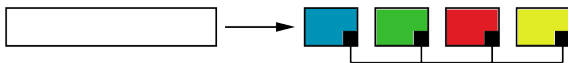
$$? \in \underset{\mathbf{x}}{\operatorname{argmin}} \{ f(\mathbf{x}, \xi) \mid \mathbf{x} \in X \cap \{ \mathbf{x} \mid \mathbf{g}(\mathbf{x}, \xi) \leq \mathbf{0}, \mathbf{h}(\mathbf{x}, \xi) = \mathbf{0} \} \}$$

- **vícestupňové** stochastické optimalizační úlohy
- **scénářový** přístup

# Optimalizace a optimalizační algoritmy

## Algoritmus progressive hedging

- **dekompozice** původní úlohy na menší podúlohy



- **penalizace + agregační princip**
- algoritmus vyžaduje pouze schopnost řešit podúlohy
- možnost **paralelizace** výpočtů
- využití **heuristických** algoritmů

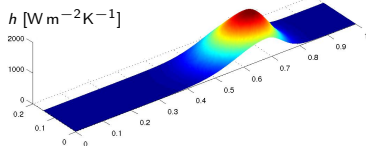
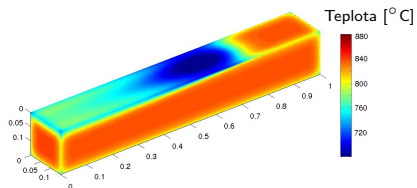
# Optimalizace a optimalizační algoritmy

## Možnosti využití optimalizace v řízení ZPO

- **cíl**: stanovit **optimální provozní parametry** ZPO
- **obvyklý** výrobní **provoz** ZPO
- **nestandardní situace** provozu ZPO
  - **výpadky** chladicích okruhů
  - **náhlé změny** licí rychlosti
  - **zanesení** chladicích trysek

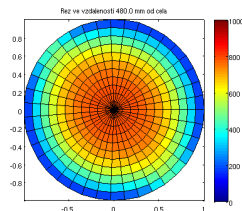
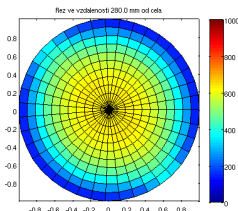
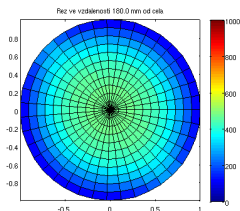
## Numerický model pro studium chladicích účinků trysek

- sochorový předlitek **čtvercového** formátu
- **srovnání**: metoda entalpie a efektivní tepelné kapacity
- split-normální rozdělení pravděpodobnosti
- implementace v MATLABu



## Numerický model předlitku kruhového formátu

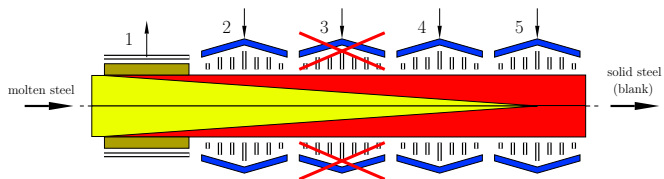
- sochorový předlitek **kruhového** formátu
- implementován v MATLABu
- **záměr**: implementace v C++ s využitím paralelizace na grafických jednotkách **GPU** a architektury **CUDA**





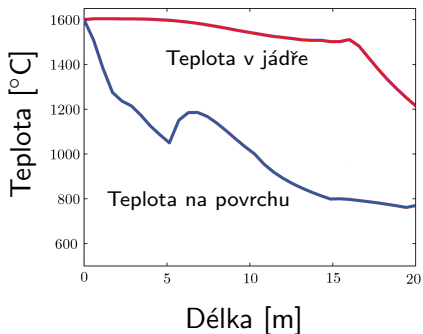
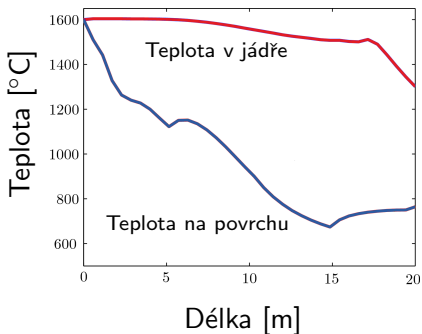
## Stochastická optimalizace provozu ZPO

- možnost **havarijního** stavu: výpadek chladicího okruhu
- implementace **progressive hedging algoritmu**
- zjednodušený 2D model + optimalizace v **GAMSu**
- **dvojstupňová úloha**: maximalizace licí rychlosti a stanovení  $h$  chladicích trysek

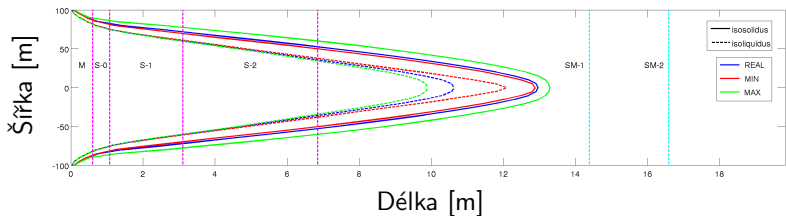
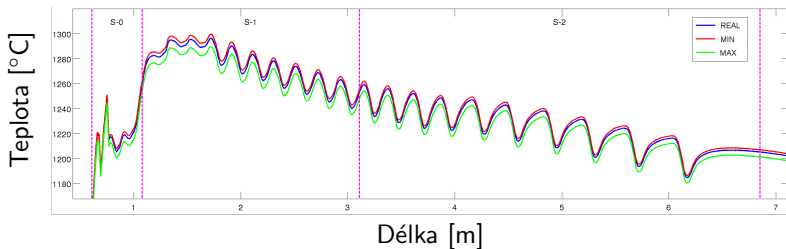


# Stochastická optimalizace provozu ZPO

- 2 scénáře: **bezporuchový** a **poruchový stav**
- **dvě scénářová řešení** ve **dvou stupních** úlohy



# Vliv chemického složení na teplotní pole



# Cíle dizertační práce

- 1 **vývoj a implementace numerických modelů** sochorového ZPO
- 2 **validace** numerických modelů
- 3 **zpracování dat z experimentů trysek** na teplých modelech
- 4 **optimalizace** provozu ZPO: nestandardní situace

## Publikace, software, projekty

- přes **20 publikací**: 2 IF, 6 WoS
- 2 software dle metodiky RIV
- účast na řešení projektů GAČR a COST
- řešitel a spoluřešitel juniorských projektů specifického výzkumu VUT (2010, 2011, 2012)
- držitel stipendia Brno PhD Talent

# Děkuji za pozornost.



Brno **Ph.D.** talent

Holder of Brno PhD Talent Financial Aid – Sponsored by Brno City Municipality

## Otázky oponenta

- 1 Vysvětlete, proč je nutné do výpočtu ve Fourierově-Kirchhoffově rovnici zahrnout člen vztažený k lici rychlosti  $v_z$  a kdy je možné řešit úlohu jen pomocí rovnice Fouriera.

## Otázky oponenta

- 1 Vysvětlete, proč je nutné do výpočtu ve Fourierově-Kirchhoffově rovnici zahrnout člen vztažený k lici rychlosti  $v_z$  a kdy je možné řešit úlohu jen pomocí rovnice Fouriera.

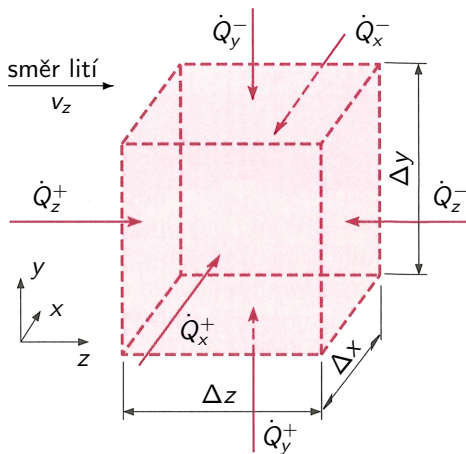
### Fourierova-Kirchhoffova vs Fourierova rovnice

$$\frac{\partial H}{\partial t} = \frac{\partial}{\partial x} \left( k \frac{\partial T}{\partial x} \right) + \frac{\partial}{\partial y} \left( k \frac{\partial T}{\partial y} \right) + \frac{\partial}{\partial z} \left( k \frac{\partial T}{\partial z} \right) + v_z \frac{\partial H}{\partial z}$$

$$c_{\text{eff}} \frac{\partial T}{\partial t} = \frac{\partial}{\partial x} \left( k \frac{\partial T}{\partial x} \right) + \frac{\partial}{\partial y} \left( k \frac{\partial T}{\partial y} \right) + \frac{\partial}{\partial z} \left( k \frac{\partial T}{\partial z} \right) + v_z c_{\text{eff}} \frac{\partial T}{\partial z}$$



# Otázky oponenta

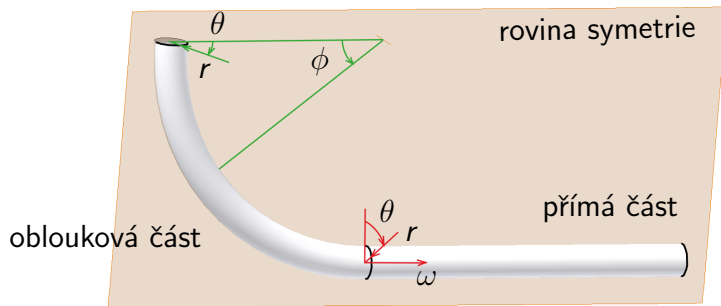


## Otázky oponenta

- 2 Použití kartézského a cylindrického souřadného systému. Jaký souřadný systém je použit pro zakřivený sochor kruhového formátu?

## Otázky oponenta

- ② Použití kartézského a cylindrického souřadného systému. Jaký souřadný systém je použit pro zakřivený sochor kruhového formátu?



## Otázky oponenta

- 3 Vysvětlete kritéria stability explicitní časové diskretizace.

## Otázky oponenta

- 3 Vysvětlete kritéria stability explicitní časové diskretizace.

$$T_{i,j,k}^{t+\Delta t} = \Psi_{i,j,k} T_{i,j,k}^t + \\ + \Psi_{i-1,j,k} T_{i-1,j,k}^t + \Psi_{i+1,j,k} T_{i+1,j,k}^t + \Psi_{i,j-1,k} T_{i,j-1,k}^t + \dots$$

## Otázky oponenta

- 3 Vysvětlete kritéria stability explicitní časové diskretizace.

$$T_{i,j,k}^{t+\Delta t} = \Psi_{i,j,k} T_{i,j,k}^t + \\ + \Psi_{i-1,j,k} T_{i-1,j,k}^t + \Psi_{i+1,j,k} T_{i+1,j,k}^t + \Psi_{i,j-1,k} T_{i,j-1,k}^t + \dots$$

$$\Psi_{i,j,k} \geq 0$$

## Otázky oponenta

- ③ Vysvětlete kritéria stability explicitní časové diskretizace.

### Vnitřní kontrolní objem

$$T_{i,j,k}^{n+1} = \underbrace{\left( 1 - \frac{2k\Delta t}{\rho c \Delta^2 x} - \frac{2k\Delta t}{\rho c \Delta^2 y} - \frac{2k\Delta t}{\rho c \Delta^2 z} - \frac{v_z \Delta t}{\Delta z} \right)}_{\geq 0} T_{i,j,k}^n + \dots$$

## Otázky oponenta

- ③ Vysvětlete kritéria stability explicitní časové diskretizace.

### Vnitřní kontrolní objem

$$T_{i,j,k}^{n+1} = \underbrace{\left( 1 - \frac{2k\Delta t}{\rho c \Delta^2 x} - \frac{2k\Delta t}{\rho c \Delta^2 y} - \frac{2k\Delta t}{\rho c \Delta^2 z} - \frac{v_z \Delta t}{\Delta z} \right)}_{\geq 0} T_{i,j,k}^n + \dots$$

$$\Delta t \leq \frac{1}{\frac{2k}{\rho c} \left( \frac{1}{\Delta^2 x} + \frac{1}{\Delta^2 y} + \frac{1}{\Delta^2 z} \right) + \frac{v_z}{\Delta z}}$$



## Otázky oponenta

- ③ Vysvětlete kritéria stability explicitní časové diskretizace.

### Povrchový kontrolní objem s konvekcí

$$T_{i,j,k}^{n+1} = \underbrace{\left( 1 - \frac{k\Delta t}{\rho c \Delta^2 x} - \frac{2k\Delta t}{\rho c \Delta^2 y} - \frac{2k\Delta t}{\rho c \Delta^2 z} - \frac{h\Delta t}{\rho c \Delta x} - \frac{v_z \Delta t}{\Delta z} \right)}_{\geq 0} T_{i,j,k}^n + \dots$$

## Otázky oponenta

- ③ Vysvětlete kritéria stability explicitní časové diskretizace.

### Povrchový kontrolní objem s konvekcí

$$T_{i,j,k}^{n+1} = \underbrace{\left( 1 - \frac{k\Delta t}{\rho c \Delta^2 x} - \frac{2k\Delta t}{\rho c \Delta^2 y} - \frac{2k\Delta t}{\rho c \Delta^2 z} - \frac{h\Delta t}{\rho c \Delta x} - \frac{v_z \Delta t}{\Delta z} \right)}_{\geq 0} T_{i,j,k}^n + \dots$$

$$\Delta t \leq \frac{1}{\frac{k}{\rho c} \left( \frac{1}{\Delta^2 x} + \frac{2}{\Delta^2 y} + \frac{2}{\Delta^2 z} \right) + \frac{h}{\rho c \Delta x} + \frac{v_z}{\Delta z}}$$

## Otázky oponenta

- 4 Úvodní věta kapitoly 3.3.1 by zasloužila vysvětlení, přinejmenším pěkný výraz *tlusté řešení*.

Existuje několik způsobů, pomocí kterých je možné definovat deterministické ekvivalenty stochastické optimalizační úlohy. Mezi nejznámější ekvivalenty patří *wait-and-see*, *individuálního scénáře*, *tlustého řešení*, *střední hodnoty EV* a *očekávaného cíle EO*.

## Otázky oponenta

- 4 Úvodní věta kapitoly 3.3.1 by zasloužila vysvětlení, přinejmenším pěkný výraz *tlusté řešení*.

Existuje několik způsobů, pomocí kterých je možné definovat deterministické ekvivalenty stochastické optimalizační úlohy. Mezi nejznámější ekvivalenty patří *wait-and-see*, *individuálního scénáře*, *tlustého řešení*, *střední hodnoty EV* a *očekávaného cíle EO*.

$$? \in \underset{\mathbf{x}}{\operatorname{argmin}} \{ f(\mathbf{x}, \xi) \mid \mathbf{x} \in X \cap \{ \mathbf{x} \mid \mathbf{g}(\mathbf{x}, \xi) \leq \mathbf{0}, \mathbf{h}(\mathbf{x}, \xi) = \mathbf{0} \} \}$$

## Otázky oponenta

- 5 V kapitole 3.3.2 by bylo vhodné vysvětlit, jak asi budou při optimalizaci sekundárního chlazení vypadat vektorové funkce  $g^1$ ,  $h^1$  ve srovnání s funkcemi  $g^2$ ,  $h^2$ .

## Otázky oponenta

- 5 V kapitole 3.3.2 by bylo vhodné vysvětlit, jak asi budou při optimalizaci sekundárního chlazení vypadat vektorové funkce  $g^1$ ,  $h^1$  ve srovnání s funkcemi  $g^2$ ,  $h^2$ .
- omezení **prvního stupně**

$$h_1^x \leq h_{1,\max} \quad \dots \quad h_n^x \leq h_{n,\max}$$

## Otázky oponenta

- 5 V kapitole 3.3.2 by bylo vhodné vysvětlit, jak asi budou při optimalizaci sekundárního chlazení vypadat vektorové funkce  $g^1$ ,  $h^1$  ve srovnání s funkcemi  $g^2$ ,  $h^2$ .

- omezení **prvního stupně**

$$h_1^x \leq h_{1,\max} \quad \dots \quad h_n^x \leq h_{n,\max}$$

- omezení **druhého stupně**

$$h_1^x + h_1^y \leq h_{1,\max} \quad \dots \quad h_n^x + h_n^y \leq h_{n,\max}$$

- scénář  $s_1$ :  $h_1^y = h_2^y = \dots = h_n^y = 0$
- scénář  $s_2$ :  $h_m^x + h_m^y = 0$

## Otázky oponenta

- Na straně 37 by bylo vhodné vysvětlit úvodní část kapitoly 3.4, kde se říká, že algoritmy v oddílech 3.2 a 3.3 patří do třídy deterministických algoritmů, přičemž název oddílu 3.3 je Stochastická optimalizace.



## Otázky oponenta

- ⑥ Na straně 37 by bylo vhodné vysvětlit úvodní část kapitoly 3.4, kde se říká, že algoritmy v oddílech 3.2 a 3.3 patří do třídy deterministických algoritmů, přičemž název oddílu 3.3 je Stochastická optimalizace.
- **algoritmus pro řešení deterministické vs stochastické** optimalizační úlohy
- **princip fungování** optimalizačního algoritmu **deterministický vs stochastický**

# Děkuji za pozornost.



Brno **Ph.D.** talent

Holder of Brno PhD Talent Financial Aid – Sponsored by Brno City Municipality

# Děkuji za pozornost.



Brno **Ph.D.** talent

Holder of Brno PhD Talent Financial Aid – Sponsored by Brno City Municipality